

中国科技论文统计源核心期刊
中国科学引文数据库核心期刊
中文核心期刊要目总览核心期刊

IS Q K 1 9 5 1 6 8 6
CN 42-1187/R

JOURNAL OF CLINICAL RADIOLOGY

临床放射学杂志

LINCHUANG FANGSHE XUE ZAZHI



ISSN 1001-9324



1.0>

9 771001 932195

2019 · 10

第38卷(总第351期)

临床放射学杂志

LINCHUANG FANGSHE XUE ZAZHI

月刊 1982 年 3 月创刊

第 38 卷 第 10 期

(总第 351 期)

2019 年 10 月 20 日出版

主办

黄石市医学科技情报所
435000 湖北省黄石市杭州路 23-22 号

协办

首都医科大学附属北京友谊医院
北京大学第三医院

编辑

临床放射学杂志编辑委员会

出版

临床放射学杂志社
435000 湖北省黄石市杭州路 23-22 号
电话: (0714) 622015
传真: (0714) 6260655
E-mail: lcfssxzbj@163.com
网址: http://www.lcfssxzz.com

名誉主编 冯敢生

主编 孔祥泉

常务副主编 韩萍 袁德启

社长 徐新前

总编辑 袁德启

头颈部放射学栏目录主编 王振常

骨骼肌肉放射学栏目录主编 袁慧书

技术探索栏目录主编 杨正汉

排版

临床放射学杂志社编辑部

印刷

武汉科源印刷设计有限公司

发行

国内: 湖北省黄石市邮政局
国外: 中国国际图书贸易总公司
(北京 399 信箱, 100044)
代号: M6815

订购

全国各地邮政局
邮发代号: 38-57

邮购

临床放射学杂志社发行部
435000 湖北省黄石市杭州路 23-22 号
电话: (0714) 622015

定价

每期 15 元, 全年 180 元

中国标准连续出版物号

ISSN 1001-9324
CN 42-1187/R

广告经营许可证号

4202025000021

2019 年版权归黄石市
医学科技情报所有

本刊如有印装质量问题, 可向临床
放射学杂志社发行部调换

目 次

读片窗

- 左肺下叶背段占位——请分析病变性质 吴晓兵, 张宏彬, 刘春霞等(1805)

神经放射学

- 经典型三叉神经痛患者海马结构与功能的功能 MRI 研究 欧阳涛, 彭新级, 何来昌等(1806)
脊髓型颈椎病患者大脑中央前回磁共振波谱的初步研究 占雅如, 何来昌, 谭永明等(1810)
非神经精神性狼疮患者脑灰质体积的 MRI 研究 张烨梅, 王敏君, 周福庆等(1814)
常规 MRI 瘤周水肿直方图对脑胶质母细胞瘤和原发性脑淋巴瘤的诊断价值 王敏红, 冯湛, 张景峰等(1820)

头颈影像学

- 能谱 CT 增强扫描对甲状腺结节良恶性诊断的价值 许定华, 窦益腾, 朱新进等(1825)

乳腺影像学

- MRI 评估乳腺癌患者乳头-乳晕复合体受累情况的临床应用 赵坤, 马春忠, 刘嘉等(1829)
T1 期乳腺癌 MRI 非形态学特征与 Ki-67 表达的关联性研究 徐茂林, 刘玉林, 李芳等(1834)
乳腺柱状细胞病变 X 线特征并与病理对照 贾桂静, 龚静山, 胡锦涛等(1839)

胸部影像学

- 胸膜腔 CT 仿真内镜表现 曹和涛, 王素娟, 张砚满等(1842)
孤立性肺小结节良恶性判别的初步定量研究 包玉晴, 陈方满(1847)
¹⁸F-FDG PET/CT 图像纹理分析在非小细胞肺癌中的应用价值 张斌, 马玉波, 耿彦方等(1852)

肝胆胰脾影像学

- 肝硬化背景下肝细胞癌 Gd-DTPA 和 Gd-EOB-DTPA 表现: 基于 LI-RADS(2014 版)分类标准的对照研究 邢飞, 陆健, 张涛等(1857)
MRI 对泡型包虫病肝门部胆管侵犯与肝门部胆管癌鉴别诊断的价值 康莹丽, 鲍海华, 王理祎(1862)
肝脏原发性少见肿瘤的 MRI 表现 简远熙, 杨素萍, 杨扬等(1866)
“黑环征”联合胰胆管形态改变对恶性低位胆道梗阻性疾病诊断的鉴别价值 杨秀娟, 罗江平, 曾文兵(1872)
Von Hippel-Lindau 综合征腹部病变的影像学表现 方旭, 边云, 邵成伟等(1877)

胃肠影像学

- 术前 CT 评估腹膜假黏液瘤患者腹膜癌指数与可切除相关性分析 李 洋, 于海涛, 卫宏江等(1881)
MRI 对直肠癌术前评估的价值研究 刘 婕, 刘 影, 刘梦秋等(1886)
腹膜假性黏液瘤影像学特征及其与 EMA 关系的研究 邢建明, 刘 冬, 胡春洪等(1891)

泌尿生殖影像学

- ADC 直方图及纹理分析参数鉴别子宫肉瘤与变性肌瘤的价值 牛 森, 刘爱连, 张钦和等(1895)
MRI 对 FIGO2009 I a 期子宫内膜癌的诊断价值 彭华荣, 江魁明(1900)
不同弥散模型对子宫内膜癌诊断及分级的价值 尹 希, 吴 慧, 高 阳等(1904)
肾脏原发性平滑肌肉瘤的 CT 表现与病理特征 徐勋华, 唐 浩, 王夏武等(1909)

肌肉骨骼影像学

- 3D MR 间接关节腔造影对膝关节半月板修复术后愈合评价的作用 雷立昌, 陈建宇, 蔡兆熙等(1913)
膝关节前外侧韧带解剖特征 3.0 T 磁共振影像研究 杨 擎, 翟亚楠, 张锦超等(1918)
DCE-MRI 定量参数对骨肉瘤新辅助化疗反应的监测价值 曾燕妮, 张卜天, 宋 亭等(1924)

儿科影像学

- 儿童急诊颅脑 CT 检查:一省急救中心 11 年数据回顾性分析 吴建满, 范秋玲, 何慕真等(1930)
角色转换干预在儿童头颅 MRI 检查中的应用 张娇娇, 边传振, 张新荣等(1935)
磁共振动脉自旋标记技术在早产儿脑灌注中的应用 高 敏, 刘玉奇, 宋永瑞等(1939)

血管与淋巴成像

- NCE-MRA 在评价血液透析患者自体桡动脉-头静脉内瘘成熟的可行性研究 石 茜, 褚志强, 李婧瑶等(1943)
高原地区正常成人脑血管侧支 CTA 评价 胡惠莹, 鲍海华, 康东杰(1948)

介入放射学

- 覆膜支架腔内隔绝术治疗 Stanford B 型主动脉夹层的临床疗效及术后血管重塑研究 黄金旗, 张庆贤, 陈 煌等(1952)
育龄女性布加综合征患者介入治疗前后的临床观察 张言巧子, 戚云杰, 徐 鹏等(1956)

技术探索

- 扩散张量成像对脊髓炎型布氏杆菌病的诊断价值及与血清凝集试验滴度相关性分析 吴 朋, 张玉姣, 郭宏兵等(1960)
低流速低浓度对比剂在肿瘤患者胸部增强 CT 扫描中的临床应用 胡满仓, 胡龙宾, 姜 军等(1966)
个体化低剂量大螺距扫描在头颈心血管一站式检查中的应用 张小勇, 王 峰, 曾宪春等(1971)

实验研究

- 创伤性脑损伤后血脑屏障通透性变化的动态增强 MRI 监测实验研究 许泽艳, 杨志贤, 丁莹莹等(1976)

临床初探

- 多发性内分泌肿瘤综合征影像诊断并实例分析 李 慧, 彭 洋, 孙炎平等(1982)
4 例孤立皮质静脉血栓的 MRI 表现及文献复习 李新瑜, 杨 静, 王轩轩等(1988)
气管主支气管多形性腺瘤 CT 表现初探 陈 明, 王艳艳, 姜云惠等(1992)
性腺外原发卵黄囊瘤的临床及影像特征 贾 坤, 余建群, 赵俊逸(1995)

综述

- 功能性磁共振成像在唾液腺肿瘤中的研究进展 陆一昕, 赖少侣, 罗宁斌等(1999)

机房一隅

- Siemens Axiom Aristos FX Plus 型 DR 故障检修 董安定, 尚文文(1838)
瑞典 SWEMAC G 型臂 X 射线透视机运动故障分析与维修 刘光启, 阎文娟(1917)

信息窗

- 书讯、会议通知、简讯 (1938)(1970)
欢迎订阅《临床放射学杂志》 (1965)
《临床放射学杂志》稿约 (目录尾页)

JOURNAL OF CLINICAL RADIOLOGY

Sponsor

Huangshi Institute for Medical Scientific and Technical Information
23 - 22, Hangzhou Road, Huangshi,
Hubei 435000, China

Published-cooperate with

Beijing Friendship Hospital,
Capital Medical University
Peking University Third Hospital

Editing

Editorial Board of Journal of Clinical Radiology
23 - 22, Hangzhou Road, Huangshi,
Hubei 435000, China
Tel: (0714) 6222015
Fax: (0714) 6260655

Publishing

Publishing House of Journal of Clinical Radiology
23 - 22, Hangzhou Road, Huangshi,
Hubei 435000, China
Tel: (0714) 6222015
Fax: (0714) 6260655
E-mail: lcfxzzsbj@163.com
http://www.lcfxzz.com

Honorary Editor-in-Chief

FENG Gansheng

Editor-in-Chief

KONG Xiangquan

Standing Deputy Editor

HAN Ping YUAN Deqi

Proprietor

XU Xinqian

Chief Editor

YUAN Deqi

Editor-in chief of the Head and Neck imaging Column

WANG Zhenchang

Editor-in chief of Musculoskeletal Radiology Section

YUAN Huishu

Editor-in chief of Technical Exploration Column

YANG Zhenghan

Typeset

Typesetting department, Publishing House of Journal of Clinical Radiology

Printing

Wuhan Keyuan Printing and Design Co. Ltd

Overseas Distributor

China International Book Trading Corporation
P. O. Box 399, Beijing, China
Code No. M6815

Contents of Original Article

Alteration of Structure and Function Within Hippocampus in Classical Trigeminal Neuralgia: A fMRI Study

OUYANG Tao, PENG Xinji, HE Laichang, et al (1806)

Proton Magnetic Resonance Spectroscopy of Primary Motor Cortex in Cervical Spondylotic Myelopathy: A Preliminary Study

ZHAN Yaru, HE Laichang, TAN Yongming, et al (1810)

A MRI Study of Gray Matter Volume in Systemic Lupus Erythematosus Patients Without Neuropsychiatric Manifestations

ZHANG Yemei, WANG Minjun, ZHOU Fuqing, et al (1814)

Diagnostic Value of Conventional MRI Peritumoral Edema Histogram for Glioblastoma and Primary Cerebral Lymphoma

WANG Minhong, FENG Zhan, ZHANG Jingfeng, et al (1820)

Value of Enhanced CT Spectral Imaging in the Diagnosis of Benign and Malignant Thyroid Nodul

XU Dinghua, DOU Yiteng, ZHU Xinjin, et al (1825)

Clinical Application of MRI in Evaluation of Nipple Areola Complex Involvement in Breast Cancer Patients

ZHAO Kun, MA Chunzhong, LIU Jia, et al (1829)

Correlation Between MRI Non-Morphological Features with Ki-67 Expression in T1 Breast Carcinoma

XU Maolin, LIU Yulin, LI Fang, et al (1834)

Mammographic Characteristics of Breast Columnar Cell Lesions with Pathological Correlation

JIA Guijing, GONG Jingshan, HU Jintao, et al (1839)

Manifestation of CT Virtual Endoscopy Images of Pleural Cavity

CAO Hetao, WANG Sujuan, ZHANG Yanman, et al (1842)

Preliminary Quantitative Study on the Correlation Between Solitary Pulmonary Nodules and Pathology

BAO Yuqing, CHEN Fangman (1847)

The Value of ¹⁸F-FDG PET/CT Texture Analysis in Non-Small Cell Lung Cancer

ZHANG Bin, MA Yubo, GENG Yanfang, et al (1852)

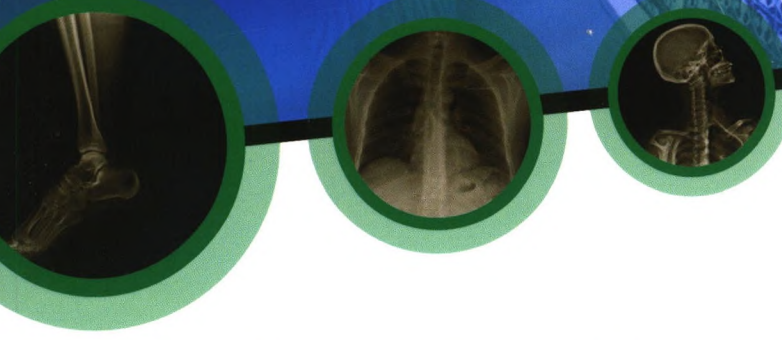
Liver Imaging Reporting and Data System v2014 Categorization of Hepatocellular Carcinoma in Cirrhosis on Gd-DTPA : Comparison with Gd-EOB-DTPA	(1857)
XING Fei, LU Jian, ZHANG Tao, et al	
The Value of MRI in Differential Diagnosis of Hilar Biliary Invasion and Hilar Cholangiocarcinoma in Echinococcosis	(1862)
KANG Yingli, BAO Haihua, WANG Liyi	
MRI Findings of Primary Hepatic Rare Tumors	(1866)
JIAN Yuanxi, YANG Suping, YANG Yang, et al	
Differential Diagnosis Value of “black ring sign” Combined with Pancreaticobiliary Duct Morphological Changes of Malignant Low-Lever Biliary Obstructive Diseases	(1872)
YANG Xiujuan, LUO Jiangping, ZENG Wenbing	
Imaging Features in Abdominal Lesions of Von Hippel-Lindau Syndrome	(1877)
FANG Xu, BIAN Yun, SHAO Chengwei, et al	
Correlation Between Preoperative CT Peritoneal Cancer Index and Resectability in Patients with Pseudomyxoma Peritoneal	(1881)
LI Yang, YU Haitao, WEI Hongjiang, et al	
The Value of MRI in Preoperative Evaluation of Rectal Cancer	(1886)
LIU Jie, LIU Ying, LIU Mengqiu, et al	
Imaging Features of Pseudomyxoma Peritonei and the Relationship with EMA	(1891)
XING Jianming, LIU Dong, HU Chunhong, et al	
The Differential Diagnosis Value of Histogram and Texture Analysis Parameters in Apparent Diffusion Coefficient of Diffusion Weighted Image for Uterine Sarcoma and Degenerative Uterine Fibroids	(1895)
NIU Miao, LIU Ailian, ZHANG Qinhe, et al	
Diagnostic Value of MRI for FIGO2009 I a Endometrial Carcinoma	(1900)
PENG Huarong, JIANG Kuiming	
Comparative Study of Different Diffusion Models on the Diagnosis and Grading of Endometrial Cancer	(1904)
YIN Xi, WU Hui, GAO Yang, et al	
The CT Findings of Primary Renal Leiomyosarcoma and Pathological Features	(1909)
XU Xunhua, TANG Hao, WANG Xiawu, et al	
The Value of Three-Dimensional Indirect MR Arthrography in the Evaluation of Repaired Menisci	(1913)
LEI Lichang, CHEN Jianyu, CAI Zhaoxi, et al	
Characterization of the Anatomy of the Anterolateral Ligament of the Knee using 3.0 T Magnetic Resonance Imaging	(1918)
YANG Qing, ZHAI Yanan, ZHANG Jingchao, et al	
The Value of DCE-MRI Quantitative Parameters in Monitoring Neoadjuvant Chemotherapy Response of Osteosarcoma	(1924)
ZENG Yanni, ZHANG Botian, SONG Ting, et al	
Head CT Scans of Children in Emergency Department:11-Yeas Data Analysis from Single Provincial Emergency Centre	(1930)
WU Jianman, FAN Qiulin, HE Muzhen, et al	
The Application of Role Reversal Intervention for Brain MRI in Children	(1935)
ZHANG Jiaojiao, BIAN Chuanzhen, ZHANG Xinrong, et al	
Application of Magnetic Resonance Arterial Spin Labeling in Cerebral Perfusion in Preterm Infants	(1939)
GAO Min, LIU Yuqi, SONG Yongrui, et al	

- Application of NCE-MRA in the Radial Artery-Cephalic Vein Fistula Maturation
of Hemodialysis Patients**
SHI Qian, CHU Zhiqiang, LI Jingyao, et al (1943)
- CTA Evaluation of Cerebrovascular Collaterals in Normal Adults at HighAltitude**
HU Huiying, BAO Haihua, KANG Dongjie (1948)
- Clinical Efficacy and Postoperative Vascular Remodeling of Endovascular Graft Exclusion
in the Treatment Stanford type B Aortic Dissection**
HUANG Jinqi, ZHANG Qingxian, CHEN Huang, et al (1952)
- Evaluation of Therapeutic Effect of Interventional Treatment on Female Patients with BCS**
ZHANG Yanqiaozi, QI Yunjie, XU Peng, et al (1956)
- The Diagnostic Value of Diffusion Tensor Imaging in the Myelitis Brachitis and Its
Correlation with Serum Agglutination Testtiter**
WU Peng, ZHANG Yujiao, GUO Hongbing, et al (1960)
- The Clinical Application of Low Flow and Low Concentration Contrast Medium
in the Chest Enhanced CT of Tumor Patients**
HU Mancang, HU Longbin, JIANG Jun, et al (1966)
- Application of Individual Low-Dose Large-Pitch Scanning in One-Stop Examination
of Head and Neck Cardiovascular Vessels**
ZHANG Xiaoyong, WANG Di, ZENG Xianchun, et al (1971)
- Monitoring Changes of Blood-Brain Barrier Permeability After Traumatic Brain Injury
in Rats by Dynamic Contrast-Enhanced Magnetic Resonance Imaging**
XU Zeyan, YANG Zhixian, DING Yingying, et al (1976)
- Image Diagnosis and Case Analysis of Multiple Endocrine Neoplasia Syndromes**
LI Hui, PENG Yang, SUN Yanping, et al (1982)
- MR Imaging Features of Isolated Cortical Vein Thrombosis: Report of Four Cases
and Review of the Literature**
LI Xinyu, YANG Jing, WANG Xuanxuan, et al (1988)
- The CT Findings of Tracheobronchial Pleomorphic Adenoma**
CHEN Ming, WAN Yanyan, JIANG Yunhui, et al (1992)
- Primary Yolk Sac Tumor of Extra-Gonadal Organ: CT/MRI and Clinical Features**
JIA Kun, YU Jianqun, ZHAO Junyi (1995)



乐凯医疗

中国航天



医用干式胶片KX410

本产品以蓝色聚酯片基为支持体，双面分别涂布成像层和保护层。本胶片适用经过计算机处理后以数字方式存贮的医疗影像的热敏打印输出，可再现经过处理的医疗影像。本胶片可以在明室条件下操作，具有灰雾小、清晰度高、大密度高、色调明快、使用方便的特点，可以直接用于市场上的热敏打印机的输出。

明室操作

可在明室条件下正常操作。

热敏打印

本产品是直接打印耗材，可以在热敏打印机上直接打印。

使用环境

最佳使用环境为温度18°C ~ 24°C、相对湿度50% ~ 65%。

贮存条件

应原包装储存于干燥、凉爽、无尘室内，防止太阳光直接照射、酸碱性气体的侵害。具体要求如下：

1. 温度10°C ~ 25°C，相对湿度30% ~ 65%，远离热源存放。
2. 储存室内不得有硫化氢、氨气、二氧化硫和甲醛等酸碱性气体。
3. 应立放储存，以免受压力而产生不良影响。

规格包装

规格 Size		包装 Package	
英制(英寸) in	公制(厘米) cm	张/盒 Sheets/box	盒/箱 Boxes/case
8×10	20×25	100	5
10×12	25×30	100	5
10×14	26×36	100	5
11×14	28×35	100	5
14×17	35×43	100	5

自助取片机LK601

乐凯自助取片机LK601是以乐凯医用胶片打印机和医用干式胶片为基础，与当前主流的PACS、RIS、LIS等系统无缝对接开发的一站式自助系统。该系统在不改变医务人员现有工作模式的前提下，替代人工分发胶片和报告，让患者获取检验结果并打印。

产品特点

- 24小时不间断工作
- 双槽在线
- 支持四种规格胶片打印
- 支持各种报告打印

备案号：冀保械备20160021号

冀保械备20160026号

冀医械广审(文)第2018060216号

地址：河北省保定市竞秀区乐凯南大街6号

电话：4006189997 0312-7923120 / 7923121

传真：0312-7922996

邮编：071054

禁忌或注意事项详见说明书